

### 3

## Análise Eletromagnética de Antenas Microfita

### 3.1.

#### Introdução

Neste capítulo é feita uma análise eletromagnética de uma antena microfita retangular alimentada por um cabo coaxial conforme a estrutura apresentada na Figura 3.1.

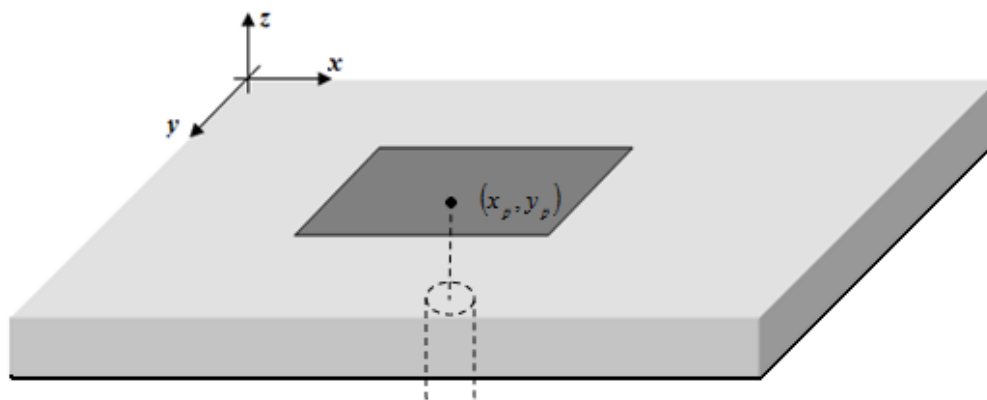


Figura 3.1 – Antena microfita com alimentação coaxial

A configuração apresentada na Figura 3.1 consiste em um *patch* metálico apoiado em uma camada de substrato de constante dielétrica  $\epsilon_r$  sobre um plano metálico condutor infinito. Duas regiões se formam: a primeira é a camada de substrato de constante dielétrica  $\epsilon_r \neq 1$  abaixo do *patch* metalizado, e a segunda é a camada de ar acima do *patch* metalizado ( $\epsilon_r = 1$ ). A alimentação está localizada no ponto  $(x_p, y_p)$  e consiste em um cabo coaxial de impedância característica  $Z_0 = 50\Omega$ .

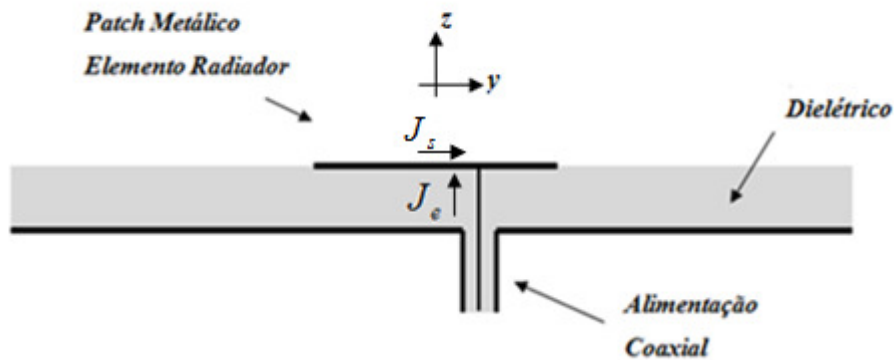


Figura 3.2 – Vista lateral da antena microfita

### 3.2. Descrição do método de análise

Para aplicação do método de análise, a excitação gerada pelo cabo coaxial é representada por uma fonte de corrente impulsiva no ponto  $(x_p, y_p)$  que induz uma corrente de superfície com densidade  $\bar{J}_s$  sobre o *patch* metalizado. Dessa forma, na antena microfita em análise, há dois tipos de corrente: a corrente de excitação com densidade  $\bar{J}_e$  e a corrente de superfície no *patch* com densidade  $\bar{J}_s$ , conforme indicado na figura 3.2.

O campo elétrico gerado por essas correntes deve satisfazer a condição de contorno sobre o plano condutor elétrico infinito em  $z=0$  e sobre o *patch* metálico em  $z=h$ . Dessa forma, ao aplicar esta condição de contorno, tem-se que:

$$\hat{z} \times [\bar{E}(\bar{J}_e) + \bar{E}(\bar{J}_s)] = 0, \text{ para todos os pontos na superfície do } \textit{patch} \quad (3.1)$$

Considerando  $\bar{J}_e$  conhecida, é possível determinar a distribuição de corrente  $\bar{J}_s$  sobre o *patch*. Neste trabalho, o Método dos Momentos é utilizado para determinar  $\bar{J}_s$  que é representada através de uma expansão em funções de base, onde os coeficientes desta expansão são as incógnitas do problema, e descrita pela seguinte expressão, onde  $N_x$  e  $N_y$  são escolhidos para assegurar adequada representação das correntes:

$$\bar{J}_s = \hat{x} \sum_{n_x=1}^{N_x} I_{n_x} J_{n_x}(x, y) + \hat{y} \sum_{n_y=1}^{N_y} I_{n_y} J_{n_y}(x, y) \quad (3.2)$$

No problema em questão, há corrente induzida nas direções  $\hat{x}$  e  $\hat{y}$ , e ambas as componentes variam tanto com  $x$  quanto com  $y$ .  $J_{n_x}(x, y)$  e  $J_{n_y}(x, y)$  são as funções de expansão na direção  $\hat{x}$  e  $\hat{y}$  e  $I_{n_x}$  e  $I_{n_y}$  os seus respectivos coeficientes. Da Equação 3.1, é possível dizer que:

$$\begin{aligned} \{\hat{z} \times [\bar{E}(\bar{J}_e) + \bar{E}(\bar{J}_s)]\} &= \{\hat{z} \times [\bar{E}_{TOTAL}]\} = \{\hat{z} \times [\hat{x}E_x + \hat{y}E_y + \hat{z}E_z]\} = \\ &[\hat{y}E_x - \hat{x}E_y] = 0 \end{aligned}$$

Dessa forma,  $E_x^{TOTAL} = 0$  e  $E_y^{TOTAL} = 0$ . O produto do campo total por uma função de teste  $\bar{J}_{teste}$  conhecida resulta em:

$$\begin{aligned} [\bar{E}(\bar{J}_e) + \bar{E}(\bar{J}_s)] \cdot \bar{J}_{teste} &= [\bar{E}_{TOTAL}] \cdot \bar{J}_{teste} = [E_x^{TOTAL} J_X^{teste} + E_y^{TOTAL} J_Y^{teste}] = \\ &[0J_X^{teste} + 0J_Y^{teste}] = 0 \end{aligned}$$

Dessa forma, podemos dizer que:

$$[\bar{E}(\bar{J}_e) + \bar{E}(\bar{J}_s)] \cdot \bar{J}_{teste} = 0 \quad (3.3)$$

O produto interno do campo elétrico total pela função de teste  $\bar{J}_{teste}$ , de acordo com a Equação 3.3, resulta em:

$$\begin{aligned} \langle [\bar{E}(\bar{J}_e) + \bar{E}(\bar{J}_s)], \bar{J}_{teste} \rangle &= 0 \\ \langle \bar{E}(\bar{J}_e), \bar{J}_{teste} \rangle + \langle \bar{E}(\bar{J}_s), \bar{J}_{teste} \rangle &= 0 \end{aligned} \quad (3.4)$$

O desenvolvimento do produto interno da Equação 3.4 permite que a equação seja reescrita como:

$$\iint_S \bar{E}(\bar{J}_e) \cdot \bar{J}_{teste} dS = -\iint_S \bar{E}(\bar{J}_s) \cdot \bar{J}_{teste} dS \quad (3.5)$$

onde  $S$ , domínio de integração, é a superfície do *patch*, localizado no intervalo

$$\frac{-L}{2} < x < \frac{L}{2} \text{ e } \frac{-W}{2} < y < \frac{W}{2}.$$

A substituição da corrente induzida no *patch* pela expansão em funções de base, conforme a Equação 3.2, resulta em:

$$\begin{aligned} \iint_S \bar{E}(\bar{J}_e) \cdot \bar{J}_{teste} dS &= -\iint_S \bar{E} \left( \hat{x} \sum_{n_x=1}^{N_x} I_{n_x} J_{n_x}(x, y) + \hat{y} \sum_{n_y=1}^{N_y} I_{n_y} J_{n_y}(x, y) \right) \cdot \bar{J}_{teste} dS \\ \iint_S \bar{E}(\bar{J}_e) \cdot \bar{J}_{teste} dS &= -\iint_S \bar{E} \left( \sum_{n=1}^{N_x+N_y} I_n \bar{J}_n \right) \cdot \bar{J}_{teste} dS \end{aligned} \quad (3.6)$$

Devido à linearidade das propriedades dos meios de propagação e à linearidade das Equações de Maxwell, a equação 3.6 pode ser reescrita como:

$$\begin{aligned} \iint_S \bar{E}(\bar{J}_e) \cdot \bar{J}_{teste} dS &= -\iint_S \sum_{n=1}^{N_x+N_y} I_n \bar{E}(\bar{J}_n) \cdot \bar{J}_{teste} dS = \sum_{n=1}^{N_x+N_y} -I_n \iint_S \bar{E}(\bar{J}_n) \cdot \bar{J}_{teste} dS \\ \iint_S \bar{E}(\bar{J}_e) \cdot \bar{J}_{teste} dS &= \sum_{n=1}^{N_x+N_y} -I_n \iint_S \bar{E}(\bar{J}_n) \cdot \bar{J}_{teste} dS \end{aligned} \quad (3.7)$$

Para solução numérica deste problema via Método dos Momentos, é aplicado o método de Galerkin [6], onde a função de teste usada é idêntica à função de expansão, ou seja, para um coeficiente  $m$  qualquer, temos  $\bar{J}_{teste} = \bar{J}_m$ .

Para cada índice  $m$  há uma função de expansão  $\bar{J}_m$  distinta e, portanto, a partir da Equação 3.7, é possível chegar a um sistema linear de equações integrais, onde as parcelas  $\iint_S \bar{E}(\bar{J}_e) \cdot \bar{J}_m dS$  e  $-\iint_S \bar{E}(\bar{J}_n) \cdot \bar{J}_m dS$  são conhecidas e  $I_n$  são as incógnitas.

Para fins de representação matricial do sistema linear de equações integrais, são criadas a matriz  $[Z]$  impedância  $(N_x + N_y) \times (N_x + N_y)$  e o vetor  $[V]$  voltagem de  $(N_x + N_y)$  elementos, tal que:

$$V_m = \iint_S \bar{E}(\bar{J}_e) \cdot \bar{J}_m dS \quad (3.8)$$

$$Z_{mn} = -\iint_S \bar{E}(\bar{J}_n) \cdot \bar{J}_m dS \quad (3.9)$$

Se  $[I]$  for suposto um vetor de dimensão  $(N_x + N_y)$ , onde cada elemento,  $I_{n_x}$  ou  $I_{n_y}$ , é uma incógnita da expansão da corrente induzida no *patch*, podemos escrever que:

$$[Z][I] = \left[ \sum_n -I_n \iint_S \bar{E}(\bar{J}_n) \cdot \bar{J}_1 dS \quad \dots \quad \sum_n -I_n \iint_S \bar{E}(\bar{J}_n) \cdot \bar{J}_N dS \right] \quad (3.10)$$

Para uma linha  $m$  do produto  $[Z][I]$  na Equação 3.10:

$$\begin{aligned} [Z][I]_m &= \sum_n -I_n \iint_S \bar{E}(\bar{J}_n) \cdot \bar{J}_m dS \\ [Z][I]_m &= \sum_n -\iint_S \bar{E}(\bar{J}_n) I_n \cdot \bar{J}_m dS \\ [Z][I]_m &= -\iint_S \left[ \sum_n \bar{E}(\bar{J}_n) I_n \right] \bar{J}_m dS = V_m \end{aligned} \quad (3.11)$$

Dessa forma, podemos dizer que:

$$[Z][I] = [V] \quad (3.12)$$

De acordo com a Equação 3.2 é possível obter a densidade de corrente induzida nas direções  $\hat{x}$  e  $\hat{y}$ . Assim, o sistema linear de equações integrais da Equação 3.12 pode ser detalhado da seguinte forma:

$$\begin{matrix} N_x \\ N_y \end{matrix} \left\{ \begin{matrix} \left[ \begin{matrix} [Z^{xx} \dots Z^{xx}]_{N_x} & [Z^{xy} \dots Z^{xy}]_{N_y} \\ [Z^{xy} \dots Z^{xy}]_{N_x} & [Z^{yy} \dots Z^{yy}]_{N_y} \end{matrix} \right] \begin{bmatrix} [I_x]_{N_x} \\ [I_y]_{N_y} \end{bmatrix} \\ \left[ \begin{matrix} [Z^{yx} \dots Z^{yx}]_{N_x} & [Z^{yy} \dots Z^{yy}]_{N_y} \\ [Z^{yx} \dots Z^{yx}]_{N_x} & [Z^{yy} \dots Z^{yy}]_{N_y} \end{matrix} \right] \begin{bmatrix} [I_x]_{N_x} \\ [I_y]_{N_y} \end{bmatrix} \end{matrix} \right. = \begin{bmatrix} [V_x]_{N_x} \\ [V_y]_{N_y} \end{bmatrix} \quad (3.13)$$

O sistema linear apresentado na Equação 3.13 é resolvido com o objetivo de gerar os elementos do vetor  $[I]$  e com isso, ser possível calcular a densidade de corrente espalhada no *patch* metalizado.

### 3.3. Diádica de Green

Para solução dos campos elétricos, é possível adotar duas abordagens distintas: a solução pelo método das integrais ou a solução pela diádica de Green. Pela abordagem da diádica, o campo elétrico devido à corrente induzida pode ser definido como:

$$\bar{E}(\bar{J}_s) = \iint \bar{J}_s \cdot \bar{G}(x, y | x_0, y_0) dx_0 dy_0 \quad (3.14)$$

onde  $\bar{G}(\cdot|\cdot)$  é a função diádica de Green para o campo elétrico. Para obter esta relação pode-se aplicar a transformada inversa de Fourier definida na Equação 2.32, onde  $\tilde{E}$ , campo elétrico no domínio espectral, é definido pelas equações 2.42 a 2.47, e determinar  $\bar{G}$ . Comparando a expressão do campo elétrico pela abordagem da diádica, Equação 3.14, com a expressão do campo elétrico, obtida quando são resolvidas as equações de Maxwell no domínio espectral, Equações 2.49 a 2.51, é possível observar que  $\tilde{Z}_{xx}$ ,  $\tilde{Z}_{xy}$ ,  $\tilde{Z}_{yx}$ ,  $\tilde{Z}_{yy}$ ,  $\tilde{Z}_{zx}$  e  $\tilde{Z}_{zy}$  nada mais são que as funções de Green para o campo elétrico. Isso faz com que fique bem mais simples a análise do campo elétrico pela abordagem da diádica. Dessa forma:

$$\bar{E}(\bar{J}_n) I_n = I_n \iint \bar{J}_n \cdot \bar{G}(x, y | x_0, y_0) dx_0 dy_0 = \iint I_n \bar{J}_n \cdot \bar{G}(x, y | x_0, y_0) dx_0 dy_0 = \bar{E}(I_n \bar{J}_n) \quad (3.15)$$

### 3.4.

#### Análise dos elementos da matriz impedância e do vetor voltagem

Considerando as componentes  $x$  e  $y$  de  $\bar{E}(\bar{J}_n)$ , de  $\bar{J}_n$  e de  $\bar{J}_m$ , a expressão geral de  $Z_{mn}$  na Equação 3.9 é:

$$Z_{mn}^{ij} = -\iint_S \bar{E}_i(\bar{J}_{nj}) J_{mi} dS \quad \text{com } i, j = x, y \quad (3.16)$$

onde  $J_{mi}$  é a componente na direção  $i$  de  $\bar{J}_m$  e  $\bar{E}_i(\bar{J}_{nj})$  é o campo elétrico na direção  $i$  gerado pela corrente  $\bar{J}_{nj}$  na direção  $j$ .

De acordo com as Equações 2.49 a 2.51, o campo elétrico  $\tilde{E}_i$  no domínio de Fourier gerado por uma densidade de corrente na direção  $j$  é dado por:

$$\tilde{E}_i(\bar{J}_{nj}) = \tilde{Z}_{ij} \tilde{J}_{nj} \quad (3.17)$$

A substituição da transformada inversa da Equação 3.17 na Equação 3.16 resulta em:

$$Z_{mn}^{ij} = -\frac{1}{4\pi^2} \iint_S \left( \iint_{-\infty}^{\infty} \tilde{Z}_{ij} \tilde{J}_{nj} e^{jk_x x} e^{jk_y y} dk_x dk_y \right) \cdot J_{mi} dS$$

$$Z_{mn}^{ij} = -\frac{1}{4\pi^2} \iint_{-\infty}^{\infty} \left( \iint_S J_{mi} e^{jk_x x} e^{jk_y y} dS \right) \tilde{Z}_{ij} \tilde{J}_{nj} dk_x dk_y$$

A parcela  $\iint_S J_{mi} e^{jk_x x} e^{jk_y y} dS$  nada mais é que a transformada de Fourier conjugada da função de base  $J_{mi}$ , que é conhecida. A equação acima pode ser reescrita como:

$$Z_{mn}^{ij} = -\frac{1}{4\pi^2} \iint_{-\infty}^{\infty} F^*(J_{mi}) \tilde{Z}_{ij} F(J_{nj}) dk_x dk_y \quad (3.18)$$

onde  $F(J_{nj}) = \tilde{J}_{nj}$  é a transformada de Fourier de  $J_{nj}$ , e  $F^*(J_{mi}) = \iint_S J_{mi} e^{jk_x x} e^{jk_y y} dS$  é a transformada conjugada de Fourier de  $J_{mi}$ .

Para os elementos do vetor voltagem, de acordo com a Equação 3.7:

$$V_m = \iint_S \bar{E}(\bar{J}_e) \cdot \bar{J}_{ms} dS$$

onde  $\bar{E}(\bar{J}_e)$  é o campo elétrico gerado pela corrente de excitação  $\bar{J}_e$ .

A corrente de excitação em questão pode ser considerada um impulso localizado no ponto  $(x_p, y_p)$ . Dessa forma, é possível escrever que:

$$\bar{J}_e = \hat{z} \delta(x - x_p) \delta(y - y_p) \quad (3.19)$$

Com a aplicação do teorema da reciprocidade [6], é possível trocar a fonte de excitação com o campo que ela produz. De acordo com o teorema em questão, dado que  $J_1$  e  $J_2$  são correntes de excitação distintas:

$$\int_V E_{12} J_1 dV = \int_V E_{21} J_2 dV \quad (3.20)$$

onde  $E_{12}$  é o campo produzido por  $J_2$  em uma primeira antena e  $E_{21}$  é o campo produzido por  $J_1$  em uma segunda antena.

A aplicação do teorema da reciprocidade na Equação 3.7 resulta em:

$$V_m = \iint_S \bar{E}(\bar{J}_e) \cdot \bar{J}_m dS = \iiint_{V_{excitação}} \bar{J}_e \cdot \bar{E}(\bar{J}_m) dV = \iiint_{V_{excitação}} \bar{J}_e \cdot \bar{E}(\bar{J}_m) dx dy dz \quad (3.21)$$

A função de expansão  $\bar{J}_m$  é usada para o cálculo da corrente induzida na superfície do *patch* metálico e por isso só tem componentes nas direções  $\hat{x}$  e  $\hat{y}$ . Dessa forma, a integração é feita apenas na superfície do *patch*, onde é induzida a

corrente. Após a aplicação do teorema da reciprocidade, a corrente em questão passa a ser a corrente da fonte de excitação, um cabo coaxial, e assim, a integração deve ser feita ao longo do volume do cabo,  $V_{excitação}$ .

A substituição da Equação 3.19 na Equação 3.21 resulta em:

$$V_m = \iiint_{V_{excitação}} \hat{z} \delta(x - x_p)(y - y_p) \cdot \bar{E}(\bar{J}_m) dx dy dz$$

$$V_m = \iiint_{V_{excitação}} \delta(x - x_p)(y - y_p) E_z(\bar{J}_m) dx dy dz$$

e considerando as componentes  $x$  e  $y$  de  $\bar{J}_m$ , obtém-se a seguinte expressão:

$$V_m^i = \iiint_{V_{excitação}} \delta(x - x_p)(y - y_p) E_z(J_{mi}) dx dy dz, \text{ com } i = x, y \quad (3.22)$$

Para o cabo coaxial de excitação,  $0 < z < h$  e, portanto, a região em questão é a região I. Dessa forma, a equação que expressa a componente na direção  $\hat{z}$  do campo elétrico gerado pela densidade de corrente  $J_{mi}$ , onde  $i = x, y$ , é obtida ao substituir  $J_x$  por  $J_{mi}$  na Equação 2.40, o que resulta em:

$$\tilde{E}_z(J_{mi}) = \frac{k_i k_2 \cos(k_1 z)}{\omega \epsilon_0 T_m} \tilde{J}_{mi}, \text{ com } i = x, y \quad (3.23)$$

A resolução da integral em  $z$  da Equação 3.23, resulta na seguinte expressão:

$$\int_0^h \tilde{E}_z(J_{mi}) dz = \int_0^h \frac{k_i k_2 \cos(k_1 z)}{\omega \epsilon_0 T_m} \tilde{J}_{mi} dz = \frac{k_i k_2 \sin(k_1 h)}{\omega \epsilon_0 k_1 T_m} \tilde{J}_{mi} = \tilde{Z}_{zi} F(J_{mi}) \quad (3.24)$$

onde  $\tilde{Z}_{zi} = \frac{k_i k_2 \sin(k_1 h)}{\omega \epsilon_0 k_1 T_m}$  e  $F(J_{mi})$  é a transformada de Fourier de  $J_{mi}$ . A

substituição da Equação 3.24 na Equação 3.22, resulta em:

$$\begin{aligned}
V_m^i &= \iiint_{V_{\text{excitação}}} \delta(x-x_p)(y-y_p) E_z(J_{mi}) dx dy dz \\
&= \iint \left( \int_0^h E_z(J_{mi}) dz \right) \delta(x-x_p)(y-y_p) dx dy = \\
&= \iint_S \left( \frac{1}{4\pi^2} \iint_{-\infty}^{\infty} \tilde{Z}_{zi} F(J_{mi}) e^{jk_x x} e^{jk_y y} dk_x dk_y \right) \delta(x-x_p)(y-y_p) dx dy = \\
&= \frac{1}{4\pi^2} \iint_{-\infty}^{\infty} \left( \iint_S \delta(x-x_p)(y-y_p) e^{jk_x x} e^{jk_y y} dx dy \right) \tilde{Z}_{zi} F(J_{mi}) dk_x dk_y = \\
&= \frac{1}{4\pi^2} \iint_{-\infty}^{\infty} \left( e^{jk_x x_p} e^{jk_y y_p} \right) \tilde{Z}_{zi} F(J_{mi}) dk_x dk_y \\
V_m^i &= \frac{1}{4\pi^2} \iint_{-\infty}^{\infty} \tilde{Z}_{zi} F(J_{mi}) e^{jk_x x_p} e^{jk_y y_p} dk_x dk_y \tag{3.25}
\end{aligned}$$

A representação matricial de  $Z$ , de acordo com a Equação 3.18, fica:

$$Z = \begin{bmatrix} \left[ -\frac{1}{4\pi^2} \iint_{-\infty}^{\infty} F^*(J_{mx}) \tilde{Z}_{xx} F(J_{nx}) dk_x dk_y \right] & \left[ -\frac{1}{4\pi^2} \iint_{-\infty}^{\infty} F^*(J_{mx}) \tilde{Z}_{xy} F(J_{ny}) dk_x dk_y \right] \\ \left[ -\frac{1}{4\pi^2} \iint_{-\infty}^{\infty} F^*(J_{my}) \tilde{Z}_{yx} F(J_{nx}) dk_x dk_y \right] & \left[ -\frac{1}{4\pi^2} \iint_{-\infty}^{\infty} F^*(J_{my}) \tilde{Z}_{yy} F(J_{ny}) dk_x dk_y \right] \end{bmatrix} \tag{3.26}$$

A representação matricial de  $V$ , de acordo com a Equação 3.25, fica:

$$V = \begin{bmatrix} \left[ \frac{1}{4\pi^2} \iint_{-\infty}^{\infty} \tilde{Z}_{zx} F(J_{mx}) e^{jk_x x_p} e^{jk_y y_p} dk_x dk_y \right] \\ \left[ \frac{1}{4\pi^2} \iint_{-\infty}^{\infty} \tilde{Z}_{zy} F(J_{my}) e^{jk_x x_p} e^{jk_y y_p} dk_x dk_y \right] \end{bmatrix} \tag{3.27}$$

### 3.5. Impedância de entrada ou auto-impedância

De posse dos elementos do vetor  $[I]$ , a impedância de entrada na antena microfita pode ser calculada. A impedância de entrada de uma antena pode ser

dada pela relação entre a tensão aplicada na entrada da antena microfita (tensão de RF no ponto de excitação) e a corrente da fonte:

$$Z_{in} = \frac{V}{I_{fonte}}$$

Por simplicidade, a amplitude da corrente impulsiva é escolhida  $I_{fonte} = 1A$ , e, assim, é possível dizer que  $Z_{in} = V$ , ou seja:

$$Z_{in} = V = - \int_v \bar{E}(\bar{J}_s) \cdot J_e dv$$

De acordo com as Equações 3.2 e 3.6, é possível dizer que:

$$\bar{E}(\bar{J}_s) = \bar{E} \left( \hat{x} \sum_{n_x=1}^{N_x} I_{n_x} J_{n_x}(x, y) + \hat{y} \sum_{n_y=1}^{N_y} I_{n_y} J_{n_y}(x, y) \right) = \bar{E} \left( \sum_{n=1}^{N_x+N_y} I_n \bar{J}_n \right)$$

Devido à linearidade das propriedades dos meios de propagação e à linearidade das Equações de Maxwell, é possível dizer que:

$$\int_v \bar{E}(\bar{J}_s) \cdot J_e dv = \sum_{n=1}^{N_x+N_y} I_n \int_v \bar{E}(\bar{J}_n) \cdot J_e dv$$

A substituição da Equação 3.21 na equação acima resulta em:

$$Z_{in} = - \sum_{n=1}^{N_x+N_y} I_n V_n = -[I]^T [V] \quad (3.28)$$

### 3.6.

#### Solução numérica dos elementos da matriz impedância e do vetor voltagem

Para a integração numérica dos elementos de  $[Z]$  e de  $[V]$ , é feita a seguinte troca de variáveis:

$$k_x = \beta \cos \alpha \quad (3.29)$$

$$k_y = \beta \sin \alpha \quad (3.30)$$

A substituição de variáveis representada pelas Equações 3.29-30 nas Equações 3.18 e 3.25, possibilita chegar às seguintes expressões:

$$Z_{mn}^{ij} = -\frac{1}{4\pi^2} \int_0^{2\pi\infty} \int_0^{2\pi\infty} F^*(J_{mi}) \tilde{Z}_{ij} F(J_{nj}) \beta d\beta d\alpha \quad (3.31)$$

$$V_m^i = \frac{1}{4\pi^2} \int_0^{2\pi\infty} \int_0^{2\pi\infty} \tilde{Z}_{zi} F(J_{mi}) e^{j\beta \cos \alpha x_p} e^{j\beta \sin \alpha y_p} \beta d\beta d\alpha \quad (3.32)$$

A substituição das expressões para  $\tilde{Z}_{ij}$  (Equações 2.52 a 2.54) na Equação 3.31 resulta em:

$$Z_{mn}^{ij} = -\frac{1}{4\pi^2} \int_0^{2\pi\infty} \int_0^{2\pi\infty} F^*(J_{mi}) \left\{ \left[ \frac{-j}{\omega \epsilon_0} \frac{k_i k_j k_1 k_2 \sin(k_1 h)}{\beta^2 T_m} + \frac{k_i k_j k_0^2 \sin(k_1 h)}{\beta^2 T_e} \right] \right\} F(J_{nj}) \beta d\beta d\alpha \quad (3.33)$$

onde  $\tilde{i}, \tilde{j} = x$ , quando  $i, j = y$  e  $\tilde{i}, \tilde{j} = y$ , quando  $i, j = x$ .

A integral da Equação 3.33 é resolvida numericamente. Para garantir a eficiência da integração, deve ser feita uma análise cuidadosa do comportamento do integrando nas integrações em  $\alpha$  e  $\beta$ .

Conforme ilustrado na Figura 3.3, o caminho de integração em  $\beta$  apresenta singularidades, quando as funções  $T_m$  ou  $T_e$  envolvidas no denominador do integrando são nulas, e *branch points*, devido à possibilidade de duplo sinal na raiz quadrada das expressões de  $k_1$  ( $k_1^2 = \epsilon_r k_0^2 - \beta^2$ ) e  $k_2$  ( $k_2^2 = k_0^2 - \beta^2$ ), que devem ser analisados. A presença de singularidades na integração em  $\beta$ , faz com que a integração tenha uma convergência mais lenta. Por outro lado, se  $\beta$  for

mantido constante na Equação 3.33, é possível observar que o integrando de  $Z_{mn}^{ij}$  é uma função senoidal em  $\alpha$ , sem singularidades, e, portanto, no intervalo  $0 < \alpha < 2\pi$ , a integral em  $\alpha$  não apresenta problemas de convergência. A análise para os elementos do vetor voltagem,  $V_m^i$ , é análoga.

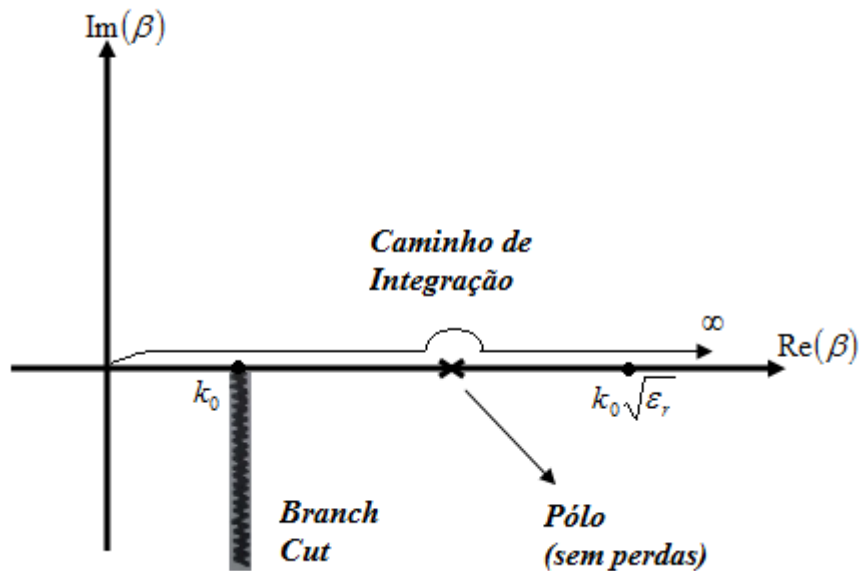


Figura 3.3 – Caminho de integração de  $Z_{mn}^{ij}$

### Posição dos *branch points*

A presença de *branch points* no caminho de integração em  $\beta$  faz com que seja necessária uma análise do integrando com o objetivo de garantir que a integral tenha um valor único.

Para o integrando em questão, os *branch points* ocorrem quando a raiz quadrada na expressão de  $k_1$  ( $k_1^2 = \epsilon_r k_0^2 - \beta^2$ ) e  $k_2$  ( $k_2^2 = k_0^2 - \beta^2$ ) tem radicando nulo. De acordo com as Equações 3.31, 3.32 e 2.52 a 2.56, o termo  $k_1$  faz parte do argumento apenas de funções pares. Dessa forma, o sinal de  $k_1$  não influencia no valor da integral. Por outro lado,  $k_2$  requer uma análise cuidadosa, pois faz parte das funções ímpares. Assim os *branch points* ocorrem apenas em  $\beta = \pm k_0$ . O sinal de  $k_2$  deve ser escolhido de forma que a onda radiada esteja se propagando e sendo atenuada à medida que se afasta da fonte. Assim devemos ter:

$$\text{Im}(k_2) < 0, \text{ e } \text{Re}(k_2) > 0 \quad (3.34)$$

### Posição dos pólos

Devido à existência de singularidades, que ocorrem quando  $T_m = 0$  ou quando  $T_e = 0$ , a integração apresenta comportamento divergente. Por isso, é importante a identificação dos pontos onde estas singularidades ocorrem.

Os pólos do integrando nas Equações 3.31 e 3.32 surgem quando  $T_m = 0$  ou  $T_e = 0$ , no denominador de  $\tilde{Z}_{ij}$ . As singularidades do integrando estão associadas às ondas de superfície excitadas na antena microfita que correspondem aos modos  $TE$  e  $TM$  do substrato. O modo fundamental  $TM_0$  não tem frequência de corte [6] e, portanto, é sempre excitado na antena microfita.

As frequências de corte para os modos mais elevados  $TE_n$  e  $TM_n$  foram calculadas em [7] e são dadas por:

$$f_c = \frac{nc}{4h\sqrt{\epsilon_r - 1}} \quad (3.35)$$

onde  $c$  é a velocidade da luz,  $h$  é a altura da camada de substrato da antena  $\epsilon_r$  é a constante dielétrica do substrato e  $n$  é a ordem do modo. Para os modos  $TM$ ,  $n = 0, 2, 4, \dots$  e para os modos  $TE$ ,  $n = 1, 3, 5, \dots$ . A substituição de  $n = 1$  na Equação 3.35 resulta na frequência de corte do modo  $TE_1$ :

$$f_c^{TE_1} = \frac{c}{4h\sqrt{\epsilon_r - 1}} \quad (3.36)$$

Uma aproximação de ordem zero da relação entre a frequência de ressonância da antena e o comprimento do *patch* metalizado é dada por:

$$f_r = \frac{c}{2L\sqrt{\epsilon_r}} \quad (3.37)$$

A relação entre a frequência de corte do modo  $TE_1$  e a frequência de ressonância da antena é obtida da divisão da Equação 3.36 pela Equação 3.37:

$$\frac{f_c^{TE_1}}{f_r} = \frac{L\sqrt{\epsilon_r}}{2h\sqrt{\epsilon_r - 1}} \quad (3.38)$$

Neste trabalho, é considerado que o substrato é fino de modo que  $L \gg h$ . A partir da análise da Equação 3.38, é possível concluir que a frequência de corte do modo  $TE_1$  é muito mais alta que a frequência de operação da antena. Antenas microfita apresentam uma banda estreita que, normalmente, não ultrapassa o valor de 10% da frequência de ressonância. Assim, a frequência de corte do modo  $TE_1$  é superior à faixa de frequências de operação da antena, e com isso apenas o modo  $TM_0$  é excitado. Os zeros da função  $T_e$  não são analisados já que os modos  $TE$  não são excitados.

A expressão para o denominador  $T_m$  envolve funções transcendentais e a determinação do zero ou pólo ( $\beta_0$ ) do integrando é realizada numericamente. A reorganização da expressão  $T_m = 0$  resulta em:

$$h\epsilon_r \sqrt{\left(\frac{\beta}{k_0}\right)^2 - 1} + \sqrt{\left(\frac{\beta}{k_0}\right)^2 - \epsilon_r} h \tanh\left(h \sqrt{\left(\frac{\beta}{k_0}\right)^2 - \epsilon_r}\right) = 0 \quad (3.39)$$

Supondo o substrato de constante dielétrica  $\epsilon_r$ , eletricamente fino, ou seja,  $h \ll \lambda_0$ , podemos dizer que  $\frac{\beta}{k_0} \approx 1$ . Utilizando uma variável auxiliar  $z = \frac{\beta}{k_0}$ , podemos expandir o termo  $\sqrt{\epsilon_r - z^2} \tan(k_0 h \sqrt{\epsilon_r - z^2})$  na Equação 3.39 em torno do ponto  $z = 1$ . Assim,  $z = \frac{\beta}{k_0} = 1 + \delta$ , onde  $\delta \approx 0$ , e a expansão em série de Taylor resulta em:

$$\epsilon_r \sqrt{2\delta + \delta^2} - \sum_{n=0}^{\infty} \varphi_n \delta^n = 0 \quad (3.40)$$

O somatório da Equação 3.40 representa a série de Taylor para a função  $\sqrt{\varepsilon_r - z^2} \tan(k_0 h \sqrt{\varepsilon_r - z^2})$ . A aproximação apenas com o termo dominante  $\varphi_0$  resulta em:

$$\frac{\beta_0}{k_0} \cong 1 + \frac{1}{2} \left( \frac{\varepsilon_r - 1}{\varepsilon_r} k_0 h \right)^2 \quad (3.41)$$

Se fosse usada a aproximação com os termos  $\varphi_0$  e  $\varphi_1$ :

$$\frac{\beta_0}{k_0} \cong 1 + \frac{\varphi_0 \varphi_1 - \varepsilon_r^2 + \varepsilon_r \sqrt{\varepsilon_r^2 - 2\varphi_0 \varphi_1 + \varphi_0^2}}{\varepsilon_r^2 - \varphi_1^2} \quad (3.42)$$

onde  $\varphi_1 = -\frac{1}{s} \left[ \tan(k_0 h s) + \frac{k_0 h s}{\cos^2(k_0 h s)} \right]$ ,  $\varphi_0 = s \tan(k_0 h s)$  e  $s = \sqrt{\varepsilon_r - 1}$ .

Neste trabalho, é considerada a aproximação apenas com o termo dominante  $\varphi_0$  e, portanto, a Equação 3.41 aproxima a posição do pólo da integral nas Equações 3.31 e 3.32. Se o substrato tiver uma perda diferente de zero, a sua constante de permissividade relativa será definida por  $\varepsilon_r(1 - j \tan \gamma)$ , onde  $\tan \gamma$  é a tangente de perda do substrato. Nesse caso, o pólo será complexo e definido por  $\beta_r + j\beta_i$ . O valor de  $\beta_r$  é aproximado pela Equação 3.41 ou pela Equação 3.42 e o valor aproximado de  $\beta_i$  é apresentado em [8]:

$$\beta_i = (\varepsilon_r - 1) \tan \gamma \left( \frac{k_0 h}{\varepsilon_r} \right)^2 \quad (3.43)$$

Em função da presença da singularidade, as integrais das Equações 3.31 e 3.32 são divididas em três intervalos:  $0 < \beta < k_0$ ,  $k_0 < \beta < k_0 \sqrt{\varepsilon_r}$  e  $k_0 \sqrt{\varepsilon_r} < \beta < \infty$ . Assim:

$$Z_{mn}^{ij} = -\frac{1}{4\pi^2} \int_0^{2\pi} \int_0^{k_0} F^*(J_{mi}) \tilde{Z}_{ij} F(J_{nj}) \beta d\beta + \int_{k_0}^{k_0\sqrt{\epsilon_r}} F^*(J_{mi}) \tilde{Z}_{ij} F(J_{nj}) \beta d\beta + \left. \int_{k_0\sqrt{\epsilon_r}}^{\infty} F^*(J_{mi}) \tilde{Z}_{ij} F(J_{nj}) \beta d\beta \right] d\alpha \quad (3.44)$$

$$V_m^i = \frac{1}{4\pi^2} \int_0^{2\pi} \int_0^{k_0} \tilde{Z}_{zi} F(J_{mi}) e^{j\beta \cos \alpha x_p} e^{j\beta \sin \alpha y_p} \beta d\beta + \left. \int_{k_0}^{k_0\sqrt{\epsilon_r}} \tilde{Z}_{zi} F(J_{mi}) e^{j\beta \cos \alpha x_p} e^{j\beta \sin \alpha y_p} \beta d\beta + \int_{k_0\sqrt{\epsilon_r}}^{\infty} \tilde{Z}_{zi} F(J_{mi}) e^{j\beta \cos \alpha x_p} e^{j\beta \sin \alpha y_p} \beta d\beta \right] d\alpha \quad (3.45)$$

As integrais apresentadas nas Equações 3.44 e 3.45 são discutidas a seguir.

### 3.6.1. Primeiro intervalo de integração

A integral no intervalo  $0 < \beta < k_0$  pode ser representada por:

$$Z_{mn,1}^{ij} = -\frac{1}{4\pi^2} \int_0^{2\pi} \int_0^{k_0} F^*(J_{mi}) \tilde{Z}_{ij} F(J_{nj}) \beta d\beta \left. \right] d\alpha \quad (3.46)$$

$$V_{m,1}^i = \frac{1}{4\pi^2} \int_0^{2\pi} \int_0^{k_0} \tilde{Z}_{zi} F(J_{mi}) e^{j\beta \cos \alpha x_p} e^{j\beta \sin \alpha y_p} \beta d\beta \left. \right] d\alpha \quad (3.47)$$

A substituição, na Equação 3.46, da expressão de  $\tilde{Z}_{ij}$ , de acordo com as Equações 2.52 a 2.54, e, na Equação 3.47, da expressão de  $\tilde{Z}_{zi}$ , de acordo com as Equações 2.55 e 2.56, resulta em:

$$Z_{mn,1}^{ij} = -\frac{1}{4\pi^2} \int_0^{2\pi} \int_0^{k_0} F^*(J_{mi}) \left\{ \left[ \frac{-j k_i k_j k_1 k_2 \sin(k_1 h)}{\omega \epsilon_0 \beta^2 T_m} + \frac{k_i k_j k_0^2 \sin(k_1 h)}{\beta^2 T_e} \right] \right\} F(J_{nj}) \beta d\beta d\alpha \quad (3.48)$$

$$V_{m,1}^i = \frac{1}{4\pi^2} \int_0^{2\pi} \int_0^{k_0} \left[ \frac{-j k_i k_1 \sin(k_1 h)}{\omega \epsilon_0 T_m} \right] F(J_{mi}) e^{j\beta \cos \alpha x_p} e^{j\beta \sin \alpha y_p} \beta d\beta \left. \right] d\alpha \quad (3.49)$$

De acordo com as características de convergência em  $\alpha$ , é possível considerar que apenas a integral em  $\beta$  nas Equações 3.46 e 3.47 merece especial preocupação. Se  $\alpha$  é mantido constante nas Equações 3.48 e 3.49, no intervalo de integração  $0 < \beta < k_0$ , os integrandos das integrais  $Z_{mn,1}^{ij}$  e  $V_{m,1}^i$  são bem comportados, o que garante um comportamento convergente das integrais. As transformadas  $F(J_{mi})$  e  $F^*(J_{mi})$  não apresentam singularidades, como é mostrado mais adiante, no item 3.7, que trata sobre funções de expansão.

As integrais apresentadas nas Equações 3.48 e 3.49 são resolvidas numericamente com o uso da regra da quadratura gaussiana.

### 3.6.2. Segundo intervalo de integração

A singularidade do integrando ocorre no intervalo  $k_0 < \beta < k_0\sqrt{\epsilon_r}$ , o que gera uma necessidade por um cuidado especial com a integração neste intervalo.

O intervalo  $k_0 < \beta < k_0\sqrt{\epsilon_r}$  é dividido em três subintervalos:  $k_0 < \beta < \beta_0 - \delta$ ,  $\beta_0 - \delta < \beta < \beta_0 + \delta$  e  $\beta_0 + \delta < \beta < k_0\sqrt{\epsilon_r}$ , onde, de acordo com [4],  $\delta = 0,001k_0$ . Nos subintervalos  $k_0 < \beta < \beta_0 - \delta$  e  $\beta_0 + \delta < \beta < k_0\sqrt{\epsilon_r}$  não existem singularidades, o integrando é bem comportado e, portanto, a integral é resolvida numericamente através da regra da quadratura gaussiana. Já no intervalo  $\beta_0 - \delta < \beta < \beta_0 + \delta$ , é feita a extração da singularidade do integrando, onde a parcela responsável pela singularidade é integrada analiticamente e a parcela resultante da extração da singularidade é integrada numericamente, através da regra de quadratura gaussiana. É apresentada a análise da extração da singularidade apenas para os elementos da matriz impedância. A análise para os elementos do vetor voltagem é análoga.

Chamando de  $Z_{mn,2}^{ij}$  a parcela de  $Z_{mn}^{ij}$  referente ao intervalo de integração

$\beta_0 - \delta < \beta < \beta_0 + \delta$ , temos que  $Z_{mn,2}^{ij} = \int_{\beta_0 - \delta}^{\beta_0 + \delta} F^*(J_{mi}) \tilde{Z}_{ij} F(J_{nj}) \beta d\beta$ . Dessa forma, a

seguinte integral é analisada:

$$Z_{mn,2}^{ij} = \int_{\beta_0-\delta}^{\beta_0+\delta} f(\beta) d\beta \quad (3.50)$$

Onde:

$$f(\beta) = F^*(J_{mi}) \tilde{Z}_{ij} F(J_{nj}) \beta \quad (3.51)$$

A função  $f(\beta)$  é singular no segundo intervalo de integração. É considerado que existe apenas um pólo no integrando. É possível reescrever  $f(\beta)$  como  $f(\beta) = [f(\beta) - f_{\text{sing}}(\beta)] + f_{\text{sing}}(\beta)$ .

A parcela  $f(\beta) - f_{\text{sing}}(\beta)$  é bem comportada no entorno do pólo e pode ser integrada numericamente utilizando poucos pontos de amostragem através da regra de quadratura gaussiana. Já a parcela  $f_{\text{sing}}(\beta)$  é uma função escolhida por apresentar o mesmo comportamento singular no entorno de  $\beta_0$ , mas permite a solução analítica.

Para determinar  $f_{\text{sing}}(\beta)$ ,  $f(\beta)$  é reescrita como  $f(\beta) = \left[ \frac{g(\beta)}{T_m} + \frac{h(\beta)}{T_e} \right]$ , a partir das Equações 2.52 a 2.54. A parcela  $\frac{h(\beta)}{T_e}$  não apresenta singularidade, e, portanto,  $[f(\beta) - f_{\text{sing}}(\beta)] = \frac{h(\beta)}{T_e}$ . Já a parcela  $\frac{g(\beta)}{T_m}$  apresenta comportamento singular e, portanto,  $f_{\text{sing}}(\beta) = \frac{g(\beta)}{T_m}$ .

Como a singularidade de  $f_{\text{sing}}(\beta)$  se dá quando  $T_m = 0$ , é feita a expansão de  $T_m$  em série de Taylor, em torno do ponto  $\beta = \beta_0$ . Dessa forma, a parcela  $T_m$  pode ser reescrita como  $T_m = T_m(\beta_0) + (\beta - \beta_0)T_m'(\beta_0) + (\beta - \beta_0)^2 T_m''(\beta_0) + \dots$

$T_m(\beta_0) = 0$ , já que  $\beta_0$  é a raiz de  $T_m(\beta)$ . Utilizando a expansão em Taylor até o elemento de primeira ordem, a função  $T_m$  é aproximada por  $T_m = (\beta - \beta_0)T_m'(\beta_0)$ . Dessa forma, é possível dizer que

$f_{\text{sing}}(\beta) = \frac{g(\beta)}{(\beta - \beta_0)T'_m(\beta_0)} = \frac{g(\beta)}{T'_m(\beta_0)} \cdot \frac{1}{(\beta - \beta_0)}$ . A aplicação do teorema dos

resíduos de Cauchy, conforme citado em [4] e [9], resulta em:

$$\int_{\beta_0 - \delta}^{\beta_0 + \delta} f_{\text{sing}}(\beta) d\beta = \int_{\beta_0 - \delta}^{\beta_0 + \delta} \left[ \frac{g(\beta)}{T'_m(\beta_0)} \cdot \frac{1}{(\beta - \beta_0)} \right] d\beta = -\frac{j\pi g(\beta_0)}{T'_m(\beta_0)} \quad (3.52)$$

### 3.6.3. Terceiro intervalo de integração

No intervalo  $k_0\sqrt{\epsilon_r} < \beta < \infty$ , para altos valores de  $\beta$ , o integrando das Equações 3.44 e 3.45 assume um comportamento de oscilação intensa, o que acaba gerando uma convergência lenta nas integrais em  $\alpha$ , sendo necessários mais pontos para garantir a convergência. Além disso, como o intervalo em questão vai até o infinito, geralmente o limite superior em  $\beta$  que garante a convergência das integrais é alto (aproximadamente  $200k_0$ ). Foi feito um estudo comparativo de técnicas computacionais que garantem um melhor desempenho da integração numérica em termos de demanda computacional e precisão de resultados.

Diversas técnicas computacionais foram propostas para garantir um melhor desempenho computacional de códigos numéricos para solução eletromagnética de antenas. Em [10], [11] e [12], é proposta uma técnica de extração do valor assintótico do integrando de  $Z_{mn}^{ij}$  (de forma análoga, o mesmo processo pode ser aplicado para extração do valor assintótico de  $V_m^i$ ).

Para o cálculo do valor assintótico do integrando de  $Z_{mn}^{ij}$ , é analisado somente  $Z_{mn}^{xx}$ . A análise de  $Z_{mn}^{xy}$ ,  $Z_{mn}^{yx}$  e  $Z_{mn}^{yy}$  é análoga. Chamando de  $Z_{mn,3}^{xx}$  a parcela de  $Z_{mn}^{xx}$  referente ao terceiro intervalo de integração, é possível dizer que:

$$Z_{mn,3}^{xx} = \int_0^{2\pi} \int_{k_0\sqrt{\epsilon_r}}^{\infty} F^*(J_{mx}) \tilde{Z}_{xx} F(J_{nx}) \beta d\beta d\alpha \quad (3.53)$$

Considerando que as transformadas de Fourier das funções de expansão são bem comportadas, uma vez que as funções de expansão são supostas funções senoidais, a parcela que contribui para o comportamento assintótico do integrando de  $Z_{mn,3}^{xx}$  é  $\tilde{Z}_{xx}$ . Fazendo  $\beta \rightarrow \infty$  em  $k_1$  e  $k_2$  e observando a condição de que a onda radiada esteja se propagando e sendo atenuada à medida que se afasta da fonte, o que leva à condição imposta para  $k_2$  na Equação 3.34 (análise análoga para  $k_1$ ), é possível dizer que:

$$\lim_{\beta \rightarrow \infty} k_1 = -j\beta$$

$$\lim_{\beta \rightarrow \infty} k_2 = -j\beta$$

Fazendo  $\beta \rightarrow \infty$  na Equação 2.52, é possível dizer que:

$$\begin{aligned} \lim_{\beta \rightarrow \infty} \tilde{Z}_{xx} &= \frac{-j}{\omega \epsilon_0} \left[ \frac{k_x^2 (-j\beta)(-j\beta) \sin(-j\beta h)}{\beta^2 T_m} + \frac{k_y^2 k_0^2 \sin(-j\beta h)}{\beta^2 T_e} \right] = \\ &= \frac{-j}{\omega \epsilon_0} \left[ -\frac{k_x^2 \beta^2 (-j) \sinh(\beta h)}{\beta^2 T_m} + \frac{k_y^2 k_0^2 (-j) \sinh(\beta h)}{\beta^2 T_e} \right] \end{aligned}$$

onde:

$$\lim_{\beta \rightarrow \infty} T_m = \epsilon_r (-j\beta) \cos(-j\beta h) + j(-j\beta) \sin(-j\beta h) =$$

$$= \epsilon_r (-j\beta) \cosh(\beta h) + j(-j\beta)(-j) \sinh(\beta h)$$

$$\lim_{\beta \rightarrow \infty} T_e = (-j\beta) \cos(-j\beta h) + j(-j\beta) \sin(-j\beta h) =$$

$$= (-j\beta) \cosh(\beta h) + j(-j\beta)(-j) \sinh(\beta h)$$

Como  $\lim_{\beta \rightarrow \infty} \cosh(\beta h) = \frac{e^{\beta h}}{2}$  e  $\lim_{\beta \rightarrow \infty} \sinh(\beta h) = \frac{e^{\beta h}}{2}$ , é possível dizer que:

$$\lim_{\beta \rightarrow \infty} \tilde{Z}_{xx} = \frac{-j}{\omega \epsilon_0} \left[ -\frac{k_x^2 \beta^2 (-j) \left( \frac{e^{\beta h}}{2} \right)}{\beta^2 T_m} + \frac{k_y^2 k_0^2 (-j) \left( \frac{e^{\beta h}}{2} \right)}{\beta^2 T_e} \right]$$

onde:

$$\lim_{\beta \rightarrow \infty} T_m = \varepsilon_r (-j\beta) \left( e^{\beta h/2} / 2 \right) + j(-j\beta)(-j) \left( e^{\beta h/2} / 2 \right) = (-j\beta) \left( e^{\beta h/2} / 2 \right) (\varepsilon_r + 1)$$

$$\lim_{\beta \rightarrow \infty} T_e = (-j\beta) \left( e^{\beta h/2} / 2 \right) + j(-j\beta)(-j) \left( e^{\beta h/2} / 2 \right) = 2(-j\beta) \left( e^{\beta h/2} / 2 \right)$$

Dessa forma:

$$\begin{aligned} \lim_{\beta \rightarrow \infty} \tilde{Z}_{xx} &= \frac{-j}{\omega \varepsilon_0} \left[ -\frac{k_x^2 \beta^2 (-j) \left( e^{\beta h/2} / 2 \right)}{\beta^2 \left[ (-j\beta) \left( e^{\beta h/2} / 2 \right) (\varepsilon_r + 1) \right]} + \frac{k_y^2 k_0^2 (-j) \left( e^{\beta h/2} / 2 \right)}{\beta^2 \left[ 2(-j\beta) \left( e^{\beta h/2} / 2 \right) \right]} \right] = \\ &= \frac{-j}{\omega \varepsilon_0} \left[ -\frac{k_x^2 \beta^2}{\beta^2 [\beta(\varepsilon_r + 1)]} + \frac{k_y^2 k_0^2}{\beta^2 [2\beta]} \right] = \\ &= \frac{-j}{\omega \varepsilon_0} \left[ -\frac{k_x^2}{\left[ 2\beta \left( \frac{\varepsilon_r + 1}{2} \right) \right]} + \frac{k_y^2 k_0^2}{\beta^2 [2\beta]} \right] \end{aligned}$$

Como  $k_x = \beta \cos \alpha$  e  $k_y = \beta \sin \alpha$ , é possível dizer que  $k_y^2 = \beta^2 - k_x^2$  e,

portanto, quando  $\beta \rightarrow \infty$ ,  $\lim_{\beta \rightarrow \infty} k_y = \beta$ . Assim:

$$\begin{aligned} \lim_{\beta \rightarrow \infty} \tilde{Z}_{xx} &= \frac{-j}{\omega \varepsilon_0} \left[ -\frac{k_x^2}{\left[ 2\beta \left( \frac{\varepsilon_r + 1}{2} \right) \right]} + \frac{k_0^2 \beta^2}{\beta^2 [2\beta]} \right] = \\ &= \frac{-j}{\omega \varepsilon_0} \left[ -\frac{k_x^2}{2\beta \varepsilon_e} + \frac{k_0^2}{2\beta} \right] \end{aligned} \tag{3.54}$$

onde:

$$\varepsilon_e = \frac{\varepsilon_r + 1}{2} \tag{3.55}$$

A forma assintótica da função de Green  $\tilde{Z}_{xx}$ ,  $\tilde{Z}_{xx}^A$ , pode então ser escrita como:

$$\tilde{Z}_{xx}^A = \lim_{\beta \rightarrow \infty} \tilde{Z}_{xx} = -\frac{j}{\omega \epsilon_0} \left( \frac{k_0^2}{2\beta} - \frac{k_x^2}{2\beta \epsilon_e} \right) \quad (3.56)$$

Na técnica de extração de comportamento assintótico, a parcela  $\tilde{Z}_{xx}^A$  é extraída da função de Green antes da integração. Ao aplicar a técnica de extração de comportamento assintótico proposta em [10], [11] e [12]:

$$Z_{mn,3}^{xx} = \int_0^{2\pi} \int_{k_0 \sqrt{\epsilon_r}}^{\infty} F^*(J_{mx}) (\tilde{Z}_{xx} - \tilde{Z}_{xx}^A) F(J_{nx}) \beta d\beta d\alpha + Z_{mn,3}^{xx,A} \quad (3.57)$$

onde:

$$Z_{mn,3}^{xx,A} = \int_0^{2\pi} \int_{k_0 \sqrt{\epsilon_r}}^{\infty} F^*(J_{mx}) \tilde{Z}_{xx}^A F(J_{nx}) \beta d\beta d\alpha \quad (3.58)$$

A primeira integral do lado direito da Equação 3.57 agora converge mais rapidamente se comparada com a integral da Equação 3.53 e pode ser resolvida usando a mesma técnica de integração numérica dos outros intervalos, através da regra da quadratura gaussiana. O integrando da segunda integral é ainda muito oscilatório e o seu comportamento assintótico faz com que a integral convirja muito lentamente. Algumas técnicas foram propostas para a solução dessa integral.

Em [11], ao invés de realizar as integrações no terceiro intervalo das Equações 3.31 e 3.32 em coordenadas polares, uma maneira alternativa é realizar as integrações em coordenadas cartesianas, onde é garantido um integrando mais bem comportado.

Chamando de  $V_{m,3}^i$ , a parcela de  $V_m^i$  referente ao terceiro intervalo de integração, é possível dizer que  $V_{m,3}^i = \frac{1}{4\pi^2} \int_0^{2\pi} \int_{k_0 \sqrt{\epsilon_r}}^{\infty} \tilde{Z}_{zi} F(J_{mi}) e^{j\beta \cos \alpha x_p} e^{j\beta \sin \alpha y_p} \beta d\beta d\alpha$ . O

integrando de  $Z_{mn,3}^{ij}$  tem um comportamento muito menos oscilatório que  $V_{m,3}^i$ , devido à presença, neste último, dos fatores  $e^{j\beta\cos\alpha_p}$  e  $e^{j\beta\sin\alpha_p}$ . Com isso, a convergência de  $Z_{m,3}^{ij}$  é alcançada facilmente em coordenadas polares. A análise de comportamento assintótico é, dessa forma, feita apenas para  $V_{m,3}^i$ , onde a intensa oscilação do integrando em coordenadas polares faz com que a convergência seja mais difícil de ser alcançada que no caso de  $Z_{mn,3}^{ij}$ .

Ao passar  $V_{m,3}^i$  para coordenadas cartesianas, é possível dizer que:

$$\begin{aligned}
 V_{m,3}^i = & \frac{1}{4\pi^2} \left[ \int_0^\infty dk_y \int_{k_0\sqrt{\epsilon_r}}^\infty dk_x \tilde{Z}_{zi} F(J_{mi}) e^{jk_x x_p} e^{jk_y y_p} \right. \\
 & + \int_{k_0\sqrt{\epsilon_r}}^\infty dk_y \int_0^{k_0\sqrt{\epsilon_r}} dk_x \tilde{Z}_{zi} F(J_{mi}) e^{jk_x x_p} e^{jk_y y_p} \\
 & \left. + \int_0^{k_0\sqrt{\epsilon_r}} dk_y \int_{\sqrt{\epsilon_r k_0^2 - k_y^2}}^{k_0\sqrt{\epsilon_r}} dk_x \tilde{Z}_{zi} F(J_{mi}) e^{jk_x x_p} e^{jk_y y_p} \right] \quad (3.59)
 \end{aligned}$$

Neste trabalho, foi possível alcançar a convergência das integrais em  $V_{m,3}^i$  apenas com a passagem para coordenadas cartesianas, conforme proposto em [11] e apresentado na Equação 3.59.

A Tabela 3.1 apresenta a comparação entre os resultados numéricos de  $V_{m,3}^i$  para a integração em coordenadas polares ( $I_{3,V}^{polar}$ ) e cartesianas ( $I_{3,V}^{cartesiana}$ ). São comparados o número de amostras para convergência numérica e o tempo de processamento computacional para cada uma das integrais:

$$\begin{aligned}
 I_{3,V}^{cartesiana} = & \int_0^\infty dk_y \int_{k_0\sqrt{\epsilon_r}}^\infty dk_x \tilde{Z}_{zi} F(J_{mi}) e^{jk_x x_p} e^{jk_y y_p} + \int_{k_0\sqrt{\epsilon_r}}^\infty dk_y \int_0^{k_0\sqrt{\epsilon_r}} dk_x \tilde{Z}_{zi} F(J_{mi}) e^{jk_x x_p} e^{jk_y y_p} + \\
 & + \int_0^{k_0\sqrt{\epsilon_r}} dk_y \int_{\sqrt{\epsilon_r k_0^2 - k_y^2}}^{k_0\sqrt{\epsilon_r}} dk_x \tilde{Z}_{zi} F(J_{mi}) e^{jk_x x_p} e^{jk_y y_p}
 \end{aligned}$$

$$I_{3,V}^{polar} = \int_0^{2\pi} \int_{k_0\sqrt{\epsilon_r}}^{\infty} \tilde{Z}_{zi} F(J_{mi}) e^{jk_x x_p} e^{jk_y y_p} \beta d\beta d\alpha$$

Método de integração	Coordenadas polares ( $\alpha$ e $\beta$ )	Coordenadas cartesianas ( $k_x$ e $k_y$ )
$I_{3,V}$	-0.04986 + 58.2168j	-0.04986 + 58.2130j
Número de amostras ( $n\alpha \times n\beta$ ou $nk_x \times nk_y$ ) de $I_{3,V}$	3139000	2481600
Tempo de processamento para $I_{3,V}$	10 s	39 s

Tabela 3.1 – Comparação entre  $I_{3,V}^{polar}$  e  $I_{3,V}^{cartesiana}$ 

É possível observar na Tabela 3.1 que a mudança para coordenadas cartesianas diminui o número de pontos necessários para convergência numérica em 1/3 com relação ao número de pontos utilizados em coordenadas polares, mas, em contrapartida, o tempo de processamento aumenta quase quatro vezes para que seja alcançada a mesma precisão. O computador utilizado nas simulações tem uma capacidade de processamento elevada, suficiente para garantir a simulação com integração em ambas as coordenadas. Como o tempo de processamento para o cálculo de  $I_{3,V}$  é menor em coordenadas polares, neste trabalho optou-se pela solução das integrais nessas coordenadas.

As Figuras 3.4 e 3.5 mostram a convergência da parte real da integral  $I_{3,V}$  em coordenadas cartesianas com o número de pontos em  $\alpha$  e  $\beta$ , respectivamente. Já as Figuras 3.6 e 3.7 mostram a convergência da parte imaginária da integral  $I_{3,V}$  em coordenadas cartesianas com o número de pontos em  $\alpha$  e  $\beta$ , respectivamente.

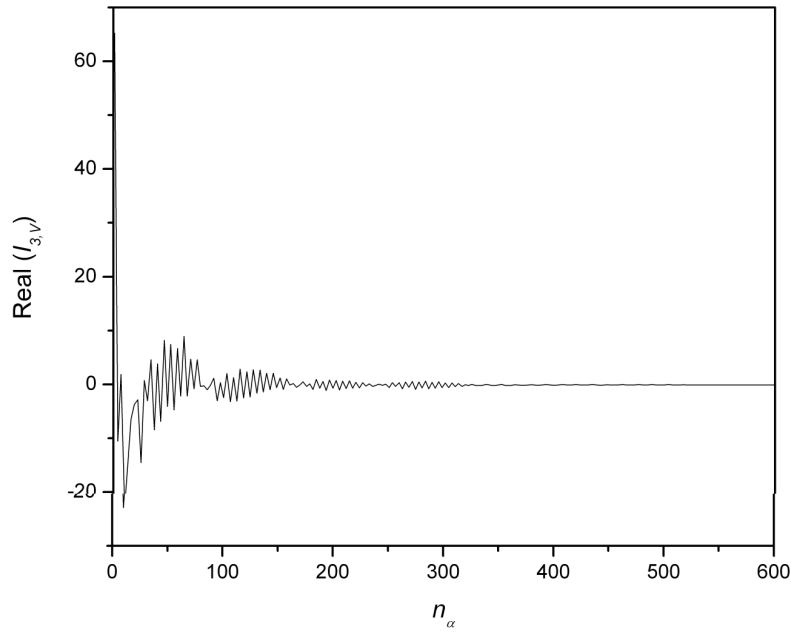


Figura 3.4 – Convergência da parte real da integral  $I_{3,V}$  em coordenadas cartesianas com o número de pontos em  $\alpha$

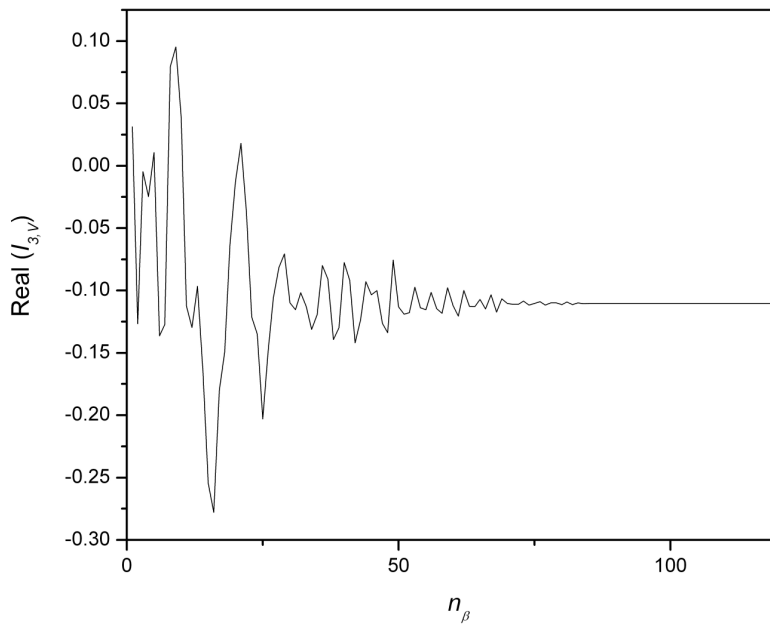


Figura 3.5 – Convergência da parte real da integral  $I_{3,V}$  em coordenadas cartesianas com o número de pontos em  $\beta$

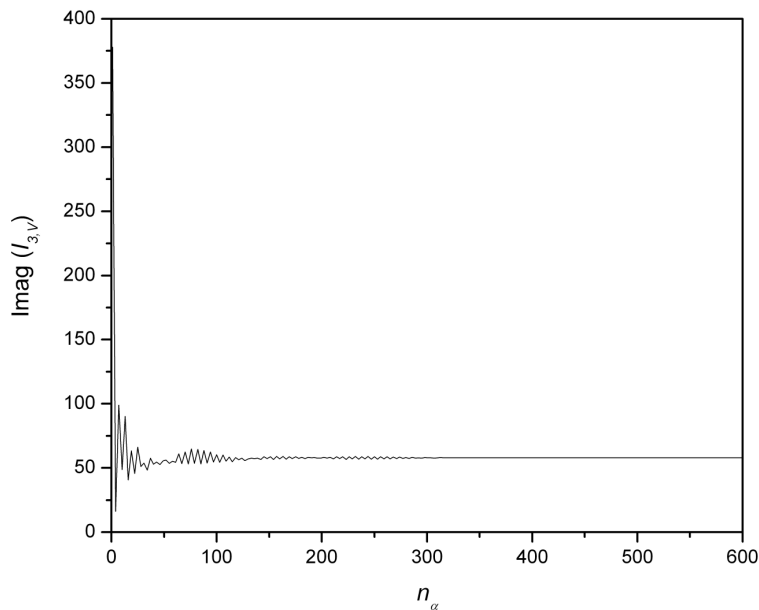


Figura 3.6 – Convergência da parte imaginária da integral  $I_{3,V}$  em coordenadas cartesianas com o número de pontos em  $\alpha$

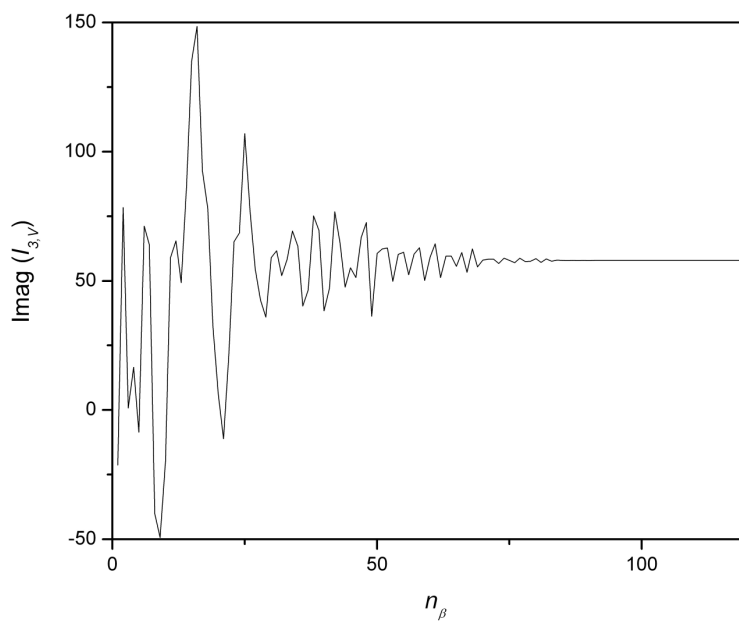


Figura 3.7 – Convergência da parte imaginária da integral  $I_{3,V}$  em coordenadas cartesianas com o número de pontos em  $\beta$

Os resultados apresentados nas Figuras 3.4-7 mostram que com 600 pontos em  $\alpha$  e 110 pontos em  $\beta$  a integração numérica  $I_{3,V}$  em coordenadas cartesianas atinge a convergência até o oitavo dígito significativo (erro na ordem de  $10^{-8}$ ).

### 3.7. Funções de Expansão

Nesta seção é feita uma análise da escolha da função de expansão usada no Método dos Momentos para o cálculo da densidade superficial de corrente induzida no *patch* metálico devida a uma fonte de corrente  $\bar{J}_e$  localizada no ponto  $(x_p, y_p)$  na superfície do mesmo.

A escolha da função de base deve ser cuidadosa, pois ela é fundamental para garantir a eficiência, a estabilidade e a convergência da solução do Método dos Momentos. As funções de base para a análise de antenas microfita podem ser de dois tipos: funções de base *entire domain* ou funções de base *subdomain*. A primeira é definida ao longo de toda a estrutura da antena. Já a segunda é definida ao longo de células nas quais a antena é dividida. O uso da última é indicado para quando se tem uma distribuição de corrente arbitrária ao longo do *patch* metálico ou para quando se tem um *patch* metálico de geometria arbitrária. Para antenas formadas por *patches* metálicos de geometria regular, como no caso estudado neste trabalho, é indicado o uso das funções de base *entire domain*.

Para que a função de expansão seja coerente com a distribuição real de corrente na superfície do *patch*, é necessário ter variação tanto na direção  $\hat{x}$  quanto na direção  $\hat{y}$ . Assim, conforme proposto em [6] e [13], são usadas as funções de base do tipo *entire domain*:

Na direção  $\hat{x}$ :

$$J_{xm} = J_{xkl}(x, y) = \sin\left[\frac{k\pi}{L}\left(x + \frac{L}{2}\right)\right] \cos\left[\frac{l\pi}{W}\left(y + \frac{W}{2}\right)\right] \hat{x} \quad (3.60)$$

Na direção  $\hat{y}$ :



$$\tilde{J}_{xm}(x, y) = \tilde{J}_{xkl}(x, y) = \frac{\frac{k\pi}{L}}{k_x^2 - \left(\frac{k\pi}{L}\right)^2} \left[ e^{-jk_x \frac{L}{2}} \cos(k\pi) - e^{jk_x \frac{L}{2}} \right] \frac{jk_y}{k_y^2 - \left(\frac{l\pi}{W}\right)^2} \left[ e^{-jk_y \frac{W}{2}} \cos(l\pi) - e^{jk_y \frac{W}{2}} \right] \quad (3.64)$$

$$\tilde{J}_{ym}^*(x, y) = \tilde{J}_{ykl}^*(x, y) = \frac{\frac{l\pi}{W}}{k_y^2 - \left(\frac{l\pi}{W}\right)^2} \left[ e^{jk_y \frac{W}{2}} \cos(l\pi) - e^{-jk_y \frac{W}{2}} \right] \frac{jk_x}{k_x^2 - \left(\frac{k\pi}{L}\right)^2} \left[ e^{-jk_x \frac{L}{2}} - \cos(k\pi) e^{jk_x \frac{L}{2}} \right] \quad (3.65)$$

$$\tilde{J}_{yn}(x, y) = \tilde{J}_{ykl}(x, y) = \frac{\frac{l\pi}{W}}{k_y^2 - \left(\frac{l\pi}{W}\right)^2} \left[ e^{-jk_y \frac{W}{2}} \cos(l\pi) - e^{jk_y \frac{W}{2}} \right] \frac{jk_x}{k_x^2 - \left(\frac{k\pi}{L}\right)^2} \left[ e^{-jk_x \frac{L}{2}} \cos(k\pi) - e^{jk_x \frac{L}{2}} \right] \quad (3.66)$$

São essas transformadas das funções de base que aparecem nas integrais a serem resolvidas para o cálculo da distribuição de corrente induzida no *patch* metálico devido a uma corrente de excitação  $\bar{J}_e$  conhecida.

### Análise de singularidades nas transformadas das funções de expansão

Para análise de singularidades nas transformadas apresentadas nas Equações 3.63 a 3.66, iremos nos ater apenas à transformada (Equação 3.64) da função de expansão na direção  $\hat{x}$  (Equação 3.60). De acordo com a Equação 3.64, a singularidade ocorreria quando os denominadores  $k_x^2 - \left(\frac{k\pi}{L}\right)^2$  e  $k_y^2 - \left(\frac{l\pi}{W}\right)^2$  assumissem o valor nulo. Isso ocorre sempre que  $k_x = \pm \frac{k\pi}{L}$  ou  $k_y = \pm \frac{l\pi}{W}$ .

Quando  $k_x = \frac{k\pi}{L}$ , resulta em:

$$\frac{\frac{k\pi}{L}}{\left(k_x - \frac{k\pi}{L}\right)\left(\frac{k\pi}{L} + \frac{k\pi}{L}\right)} \left[ e^{-j\frac{k\pi}{L} \frac{L}{2}} \cos(k\pi) - e^{j\frac{k\pi}{L} \frac{L}{2}} \right] = \frac{1}{2\left(k_x - \frac{k\pi}{L}\right)} \left[ e^{-j\frac{k\pi}{2}} \cos(k\pi) - e^{j\frac{k\pi}{2}} \right]$$

(3.67)

A expressão acima resulta em um limite do tipo  $\frac{\sin x}{x}$  quando  $x \rightarrow 0$ .

Análise análoga pode ser feita quando  $k_x = -\frac{k\pi}{L}$  ou quando  $k_y = \pm \frac{l\pi}{W}$ . Dessa forma, as transformadas das funções de expansão não apresentam singularidades.